

УДК 548.736.6:548.73

## УТОЧНЕНИЕ КРИСТАЛЛИЧЕСКОЙ СТРУКТУРЫ ФЕНАКСИТА $K_2Na_2Fe_2Si_8O_{20}$

© 2004 г. И. В. Рождественская, И. И. Баннова, Л. В. Никишова, Т. В. Соболева

Представлено академиком В.С. Урусовым 22.04.2004 г.

Поступило 29.04.2004 г

Минерал фенаксит  $K_2Na_2Fe_2Si_8O_{20}$  из Хибин был открыт М.Д. Дорфманом в 1959 г. [1], а его кристаллическая структура определена и уточнена с использованием фотометода до  $R = 0.148$  [2]. Мы предприняли изучение структуры синтетического фенаксита на основе данных, полученных дифрактометрическим методом, что позволило уточнить его структурные особенности и провести сравнение с топологически близкими ему структурами агреллитов.

Фенаксит обнаружен в побочных продуктах при синтезе цветного кварца в интервале температур 260–350°C [3]. Химический состав, мас. %:  $SiO_2$  58.80;  $TiO_2$  0.15;  $Al_2O_3$  0.40;  $(Fe_2O_3 + FeO)$  17.83;  $MnO$  0.34;  $MgO$  0.10;  $CoO$  0.35;  $Na_2O$  8.40;  $K_2O$  14.30; сумма 100.70 (аналитики В.Н. Овинникова, Л.Ю. Фадина). Синтетический фенаксит имеет темно-голубую окраску, обусловленную присутствием кобальта.

Кристаллическая структура фенаксита  $K_2Na_2Fe_2Si_8O_{20}$ , пр. гр.  $P\bar{1}$ ,  $Z = 1$ , параметры элементарной ячейки:  $a = 8.142(2)$ ,  $b = 9.954(3)$ ,  $c = 6.983(2)$  Å;  $\alpha = 100.21(2)$ ,  $\beta = 114.13(2)$ ,  $\gamma = 105.87(2)$ °,  $V = 469.1(6)$  Å<sup>3</sup>;  $d_{\text{вып}} = 2.786(4)$  г/см<sup>3</sup>, уточнена по набору 5064 интенсивностей, полученных от кристалла размером  $0.1 \times 0.2 \times 0.4$  мм<sup>3</sup> на автоматическом дифрактометре “Nicolett R3”,  $MoK_\alpha$ -излучение,  $\omega$ -методом,  $(sin\theta/\lambda)_{\max} = 0.904$ . Структура решена прямыми методами и уточнена с помощью комплекса программ CSD [4]. При уточнении использовалась весовая схема:  $1/[\sigma_F^2 + 0.0007F_{\text{obs}}^2]$ ,  $F > 4.0\sigma_F$ , заключительные  $R$ -факто-

ры в анизотропном приближении:  $R/R_w = 0.0275/0.0329$ , GOF = 1.120.

Координаты атомов и изотропные тепловые параметры даны в табл. 1, анизотропные тепловые параметры – в табл. 2, межатомные расстояния и углы – в табл. 3.

Структура фенаксита топологически близка структуре агреллитов  $Na_2(Ca, M)_4[Si_8O_{20}]F_2$ , где  $M = Sr$ , редкие земли (TR) [5, 6]. Ее можно представить в виде чередующихся слоев, параллельных плоскости (010), из кремнекислородных радикалов  $[Si_8O_{20}]^{8-}$  и сдвоенных колонок, образованных Na-семивершинниками и Fe-пятивершинниками (рис. 1).

Кремнекислородный радикал аналогичен радикалу в структуре агреллитов. Он представляет собой трубку, бесконечную вдоль оси  $z$ , образованную двумя конденсированными власовитовыми лентами. Угол в горизонтальной диортогруппе между двумя власовитовыми лентами  $SiOSi = 150.31$ °, между четырехчленными кольцами власовитовой ленты  $SiOSi = 134.75$ °, углы в четырехчленном кольце меняются в широких пределах от 132.46° до 151.37° (см. табл. 3). Радикал образует четырех-, шести- и восьмичленные окна.

Слои кремнекислородных радикалов связываются сдвоенными колонками из чередующихся Fe-пятивершинников и Na-семивершинников. В отличие от структуры агреллитов, где полизэдрический слой непрерывный, в структуре фенаксита колонки не связаны между собой. Na- и Fe-полизэдры в колонках связаны друг с другом и между собой поделенными ребрами (рис. 2). Длины связей в Fe-пятивершинниках меняются в пределах 1.992–2.288 Å при средней Fe–O = 2.112 Å, в Na-семивершинниках – 2.394–3.031 Å при средней Na–O = 2.665 Å.

В отличие от агреллита в восьмичленных окнах фенаксита располагаются атомы K, а не Na. Каждый атом K связан с 6 кислородами одного радикала (расстояния K–O = 2.737–3.386 Å) и с 3 –

Научно-исследовательский институт земной коры  
Санкт-Петербургского государственного  
университета  
Всероссийский научно-исследовательский институт  
синтеза минерального сырья,  
г. Александров Владимирской обл.

**Таблица 1.** Координаты атомов и тепловые параметры в структуре фенаксита

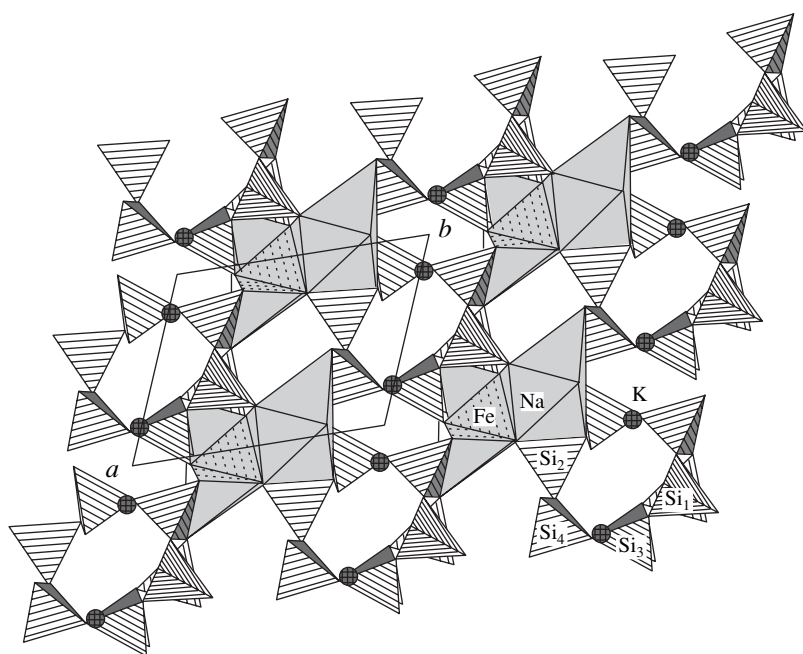
Позиция	$x/a$	$y/b$	$z/c$	$U_{(is/eq)}^* \cdot 100 \text{ \AA}^{-2}$
K	0.20125(4)	0.00942(4)	0.34106(5)	2.09(1)
Na	0.1435(1)	0.41038(6)	0.6660(1)	2.29(2)
Fe	0.10795(2)	0.40673(2)	0.15634(3)	0.999(5)
Si <sub>1</sub>	0.35852(4)	0.72997(3)	0.12574(5)	0.796(9)
Si <sub>2</sub>	0.35887(4)	0.72840(3)	0.55640(5)	0.859(9)
Si <sub>3</sub>	0.17367(4)	0.86816(3)	0.79338(5)	0.833(9)
Si <sub>4</sub>	0.69635(4)	0.78618(3)	0.03015(5)	0.750(9)
O <sub>1</sub>	0.5496(1)	0.7112(1)	0.1197(2)	1.65(3)
O <sub>2</sub>	0.3257(1)	0.86531(9)	0.0326(1)	1.31(3)
O <sub>3</sub>	0.4215(1)	0.7940(1)	0.3874(1)	1.40(3)
O <sub>4</sub>	0.1697(1)	0.58196(9)	0.9953(1)	1.14(2)
O <sub>5</sub>	0.2184(2)	0.5602(1)	0.4568(2)	1.78(3)
O <sub>6</sub>	0.4331(1)	0.2302(1)	0.2272(1)	1.71(3)
O <sub>7</sub>	0.7464(2)	0.1660(1)	0.3816(2)	1.72(3)
O <sub>8</sub>	0.0438(1)	0.2395(1)	0.2994(2)	1.54(3)
O <sub>9</sub>	0.8101(1)	0.96193(9)	0.1744(2)	1.66(3)
O <sub>10</sub>	0.8553(1)	0.71690(9)	0.0685(1)	1.24(3)

$$* U_{(eq)} = \frac{1}{3} [U_{11}a^{*2}a^2 + \dots + 2U_{23}b^{*}c^{*}bcc\cos\alpha].$$

**Таблица 2.** Анизотропные параметры атомов ( $U_{ij} \cdot 100 \text{ \AA}^{-2}$ ) в структуре фенаксита

Позиция	$U_{11}$	$U_{22}$	$U_{33}$	$U_{12}$	$U_{13}$	$U_{23}$
K	1.44(1)	2.11(1)	2.67(1)	0.604(9)	0.859(9)	1.08(1)
Na	4.14(4)	1.22(2)	1.46(2)	0.61(2)	1.53(2)	0.58(2)
Fe	1.053(6)	0.853(6)	1.067(6)	0.341(5)	0.556(5)	0.201(4)
Si <sub>1</sub>	0.86(1)	0.84(1)	0.71(1)	0.258(9)	0.432(9)	0.301(8)
Si <sub>2</sub>	0.97(1)	0.86(1)	0.66(1)	0.238(9)	0.415(9)	0.198(8)
Si <sub>3</sub>	1.02(1)	0.60(1)	0.89(1)	0.332(9)	0.454(9)	0.243(8)
Si <sub>4</sub>	0.80(1)	0.63(1)	0.86(1)	0.310(8)	0.425(9)	0.228(8)
O <sub>1</sub>	1.59(3)	2.06(4)	2.49(4)	1.04(3)	1.56(3)	1.41(3)
O <sub>2</sub>	1.50(3)	1.00(3)	1.13(3)	0.40(3)	0.37(3)	0.51(2)
O <sub>3</sub>	1.65(3)	1.41(3)	0.76(3)	-0.02(3)	0.69(3)	0.21(2)
O <sub>4</sub>	1.04(3)	0.84(3)	1.25(3)	0.25(2)	0.40(2)	0.28(2)
O <sub>5</sub>	2.45(4)	0.94(3)	1.22(3)	-0.17(3)	0.90(3)	0.05(3)
O <sub>6</sub>	1.38(3)	2.56(4)	0.91(3)	0.73(3)	0.32(3)	0.58(3)
O <sub>7</sub>	2.35(4)	2.26(4)	1.59(3)	1.55(4)	1.37(3)	0.89(3)
O <sub>8</sub>	1.17(3)	1.20(3)	1.90(4)	0.12(3)	0.56(3)	0.71(3)
O <sub>9</sub>	1.56(3)	0.62(3)	1.99(4)	0.43(3)	0.24(3)	0.12(3)
O <sub>10</sub>	1.28(3)	1.21(3)	1.53(3)	0.80(3)	0.77(3)	0.39(3)

$$T = \exp[-2\pi^2(U_{11}a^2h^2 + \dots + 2U_{23}bccl)].$$

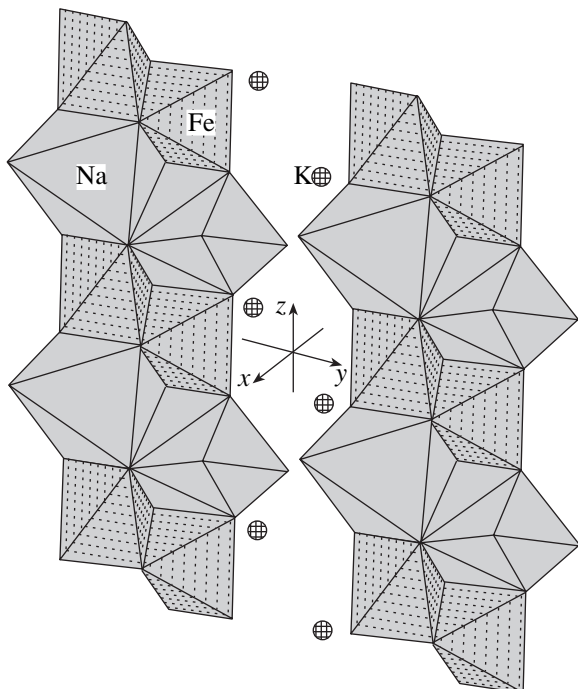


**Рис. 1.** Проекция структуры фенакита на плоскость (001). Хорошо видны слои кремнекислородных радикалов  $[Si_8O_{20}]$ , скрепленные сдвоенными колонками из чередующихся Fe-пятивершинников и Na-семивершинников.

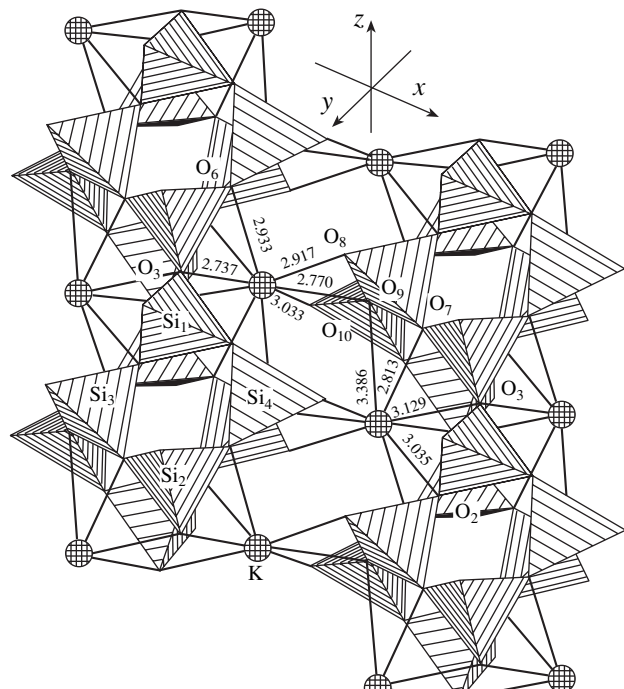
другого ( $K-O = 2.770\text{--}3.033 \text{ \AA}$ ) (рис. 3), дополнительно скрепляя радикалы в слое.

Элементарная ячейка фенакита представляет собой минимальный фрагмент структуры, включа-

ющий один кремнекислородный радикал  $[Si_8O_{20}]$ , два связанных с ним щелочных катиона и четыре катионные позиции, попарно связанные центром инверсии. В структурах Sr- и TR-агреллитов из-за



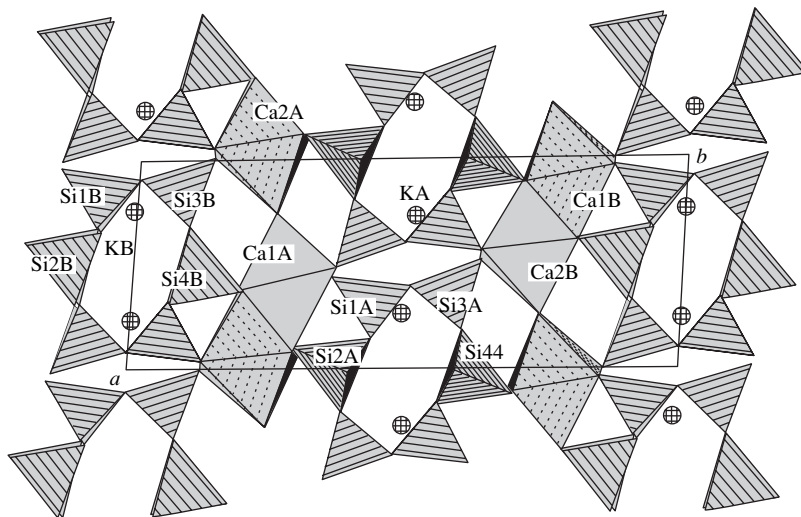
**Рис. 2.** Сдвоенные колонки чередующихся Fe-пятивершинников и Na-семивершинников в структуре фенакита.



**Рис. 3.** Связи катиона  $K^+$  с двумя кремнекислородными радикалами в слое.

**Таблица 3.** Длины связей катион–кислород ( $\text{\AA}$ ) и углы (град) в структуре фенаксита

Si–O	Длина	OSiO	Угол	M–O	Длина
Si <sub>1</sub> –O <sub>4</sub>	1.582(3)	O <sub>3</sub> Si <sub>1</sub> O <sub>2</sub>	103.8(1)	Fe–O <sub>10</sub>	1.992(2)
–O <sub>3</sub>	1.628(2)	O <sub>3</sub> Si <sub>1</sub> O <sub>1</sub>	106.0(1)	–O <sub>5</sub>	2.028(2)
–O <sub>2</sub>	1.635(3)	O <sub>2</sub> Si <sub>1</sub> O <sub>1</sub>	108.1(1)	–O <sub>4</sub>	2.114(3)
–O <sub>1</sub>	1.633(3)	O <sub>4</sub> Si <sub>1</sub> O <sub>2</sub>	112.3(1)	–O <sub>8</sub>	2.140(3)
Среднее	1.620	O <sub>4</sub> Si <sub>1</sub> O <sub>3</sub>	112.8(1)	–O <sub>4</sub>	2.288(3)
		O <sub>4</sub> Si <sub>1</sub> O <sub>1</sub>	113.2(1)	Среднее	2.112
		Среднее	109.4		
Si <sub>2</sub> –O <sub>5</sub>	1.577(3)	O <sub>3</sub> Si <sub>2</sub> O <sub>7</sub>	102.8(1)	Na–O <sub>5</sub>	2.394(3)
–O <sub>6</sub>	1.621(2)	O <sub>6</sub> Si <sub>2</sub> O <sub>3</sub>	103.0(1)	–O <sub>10</sub>	2.422(3)
–O <sub>3</sub>	1.632(3)	O <sub>6</sub> Si <sub>2</sub> O <sub>7</sub>	108.5(1)	–O <sub>8</sub>	2.471(2)
–O <sub>7</sub>	1.631(3)	O <sub>5</sub> Si <sub>2</sub> O <sub>7</sub>	111.2(1)	–O <sub>4</sub>	2.502(2)
Среднее	1.615	O <sub>5</sub> Si <sub>2</sub> O <sub>3</sub>	115.2(1)	–O <sub>5</sub>	2.828(3)
		O <sub>5</sub> Si <sub>2</sub> O <sub>6</sub>	115.2(2)	–O <sub>7</sub>	3.008(3)
		Среднее	109.3	–O <sub>1</sub>	3.031(3)
				Среднее	2.665
Si <sub>3</sub> –O <sub>8</sub>	1.575(3)	O <sub>7</sub> Si <sub>3</sub> O <sub>9</sub>	104.5(1)		
–O <sub>9</sub>	1.627(3)	O <sub>2</sub> Si <sub>3</sub> O <sub>9</sub>	107.2(1)	K –O <sub>3</sub>	2.737(3)
–O <sub>7</sub>	1.630(3)	O <sub>2</sub> Si <sub>3</sub> O <sub>7</sub>	108.3(1)	–O <sub>9</sub>	2.770(3)
–O <sub>2</sub>	1.634(2)	O <sub>8</sub> Si <sub>3</sub> O <sub>9</sub>	110.6(1)	–O <sub>7</sub>	2.813(3)
Среднее	1.617	O <sub>8</sub> Si <sub>3</sub> O <sub>7</sub>	111.8(1)	–O <sub>8</sub>	2.917(3)
		O <sub>2</sub> Si <sub>3</sub> O <sub>8</sub>	113.9(1)	–O <sub>6</sub>	2.933(3)
		Среднее	109.4	–O <sub>10</sub>	3.033(3)
				–O <sub>2</sub>	3.035(3)
Si <sub>4</sub> –O <sub>10</sub>	1.579(3)	O <sub>9</sub> Si <sub>4</sub> O <sub>10</sub>	107.6(1)	–O <sub>3</sub>	3.129(3)
–O <sub>6</sub>	1.619(2)	O <sub>9</sub> Si <sub>4</sub> O <sub>1</sub>	108.1(1)	–O <sub>9</sub>	3.386(2)
–O <sub>9</sub>	1.631(3)	O <sub>6</sub> Si <sub>4</sub> O <sub>9</sub>	108.2(1)	Среднее	2.973
–O <sub>1</sub>	1.633(3)	O <sub>6</sub> Si <sub>4</sub> O <sub>1</sub>	108.5(1)		
Среднее	1.615	O <sub>1</sub> Si <sub>4</sub> O <sub>10</sub>	110.7(1)		
		O <sub>6</sub> Si <sub>4</sub> O <sub>10</sub>	113.5(1)		
		Среднее	109.4		
		SiOSi	Угол		
		Si <sub>1</sub> O <sub>2</sub> Si <sub>3</sub>	132.5(2)		
		Si <sub>1</sub> O <sub>3</sub> Si <sub>2</sub>	134.7(2)		
		Si <sub>1</sub> O <sub>1</sub> Si <sub>4</sub>	135.2(2)		
		Si <sub>2</sub> O <sub>7</sub> Si <sub>3</sub>	138.8(2)		
		Si <sub>3</sub> O <sub>9</sub> Si <sub>4</sub>	150.3(2)		
		Si <sub>2</sub> O <sub>6</sub> Si <sub>4</sub>	151.4(2)		



**Рис. 4.** Выбор элементарной ячейки в структурах Sr- и TR-агреллитов. Обозначения позиций приведены в соответствии с данными в [5,6].

упорядочения примесных катионов в каждом втором полиэдрическом слое параметр  $b$  элементарной ячейки удваивается (рис. 4). Кроме того, из-за разных размеров полиэдров, содержащих примесные атомы Sr и TR, в структуре Sr-агреллита происходит смещение на  $1/2$  трансляции вдоль оси  $z$  соседних кремнекислородных слоев, что приводит к образованию двуслойных политипов агреллита [6].

Работа поддержана программой “Университеты России” (грант 09.01.036) и РФФИ (грант 01–05–64952).

#### СПИСОК ЛИТЕРАТУРЫ

1. Дорфман М.Д., Рогачев Д.Л., Горощенко З.И. и др. // Тр. Минерал. музея. 1959. В. 9. С. 152–166.
2. Головачев В.П., Дроздов Ю.Н., Кузьмин Э.А., Белов Н.В. // ДАН. 1970. Т. 194. № 4. С. 818–820.
3. Соколова М.Н., Сучкова Е.Н., Власова Е.В. и др. // ДАН. 1993. Т. 329. № 2. С. 211–215.
4. Akselrud L.G., Grin Yu.N., Zavalii P.Yu. et al. In: Collected Abstrts XII Eur. Cryst. Meeting. Moscow, 1989. B. 3. P. 155.
5. Ghose S., Wan Ch. // Amer. Miner. 1979. V. 64. № 5/6. P. 563–570.
6. Рождественская И.В., Никишова Л.В. // Кристаллография. 1998. Т. 43. № 4. С. 637–645.